

СОДЕРЖАНИЕ**CONTENTS**

<i>Введение</i>	8
<i>Предисловие</i>	12
Раздел I. Рентгенодиагностика повреждений реберного каркаса	15
Раздел II. Рентгенодиагностика ранних легочно- плевральных, плевромедиастинальных и реберно-плевральных осложнений травм груди	71
Раздел III. Рентгенодиагностика трахеобронхолегочных повреждений при травме груди	111
Раздел IV. Рентгенодиагностика повреждений органов средостения при травме груди	151
Раздел V. Рентгенодиагностика повреждений диафрагмы при травме груди	161
Раздел VI. Рентгенодиагностика редких наблюдений при травме груди	175
Раздел VII. Рентгенодиагностика посттравматической пневмонии	205
Раздел VIII. Рентгенодиагностика особенностей расположения дренажей в плевральной полости	227
Раздел IX. Универсальный метод купирования ранних легочно-плевральных и плевромедиастинальных осложнений травм груди (КТОП — устройство И.А.Шарипова)	259

<i>Introduction</i>	8
<i>Foreword</i>	12
Section I. X-Ray diagnosis of injuries to the rib carcass	15
Section II. X-Ray diagnosis of early pleuropulmonary, pleuromediastinal and pleurocostal complication of chest injuries	71
Section III. X-Ray diagnosis of tracheobronchopulmon ary injuries in chest trauma	111
Section IV. X-Ray diagnosis of injuries to mediastinal organs in chest trauma	151
Section V. X-Ray diagnosis of injuries to the diaphragm in chest trauma	161
Section VI. X-Ray diagnosis of rare observations in chest injury	175
Section VII. X-Ray diagnosis of posttraumatic pneumonia	205
Section VIII. X-Ray diagnosis features of disposition of draining tubes in the pleural cavity	227
Section IX. Universal method for arresting early pleuropulmonary and pleuromediastinal complications of chest injuries (UCVT: I.A.Sharipov's Device)	259

РАЗДЕЛ I РЕНТГЕНОДИАГНОСТИКА
ПОВРЕЖДЕНИЙ
РЕБЕРНОГО КАРКАСА

SECTION I X-RAY DIAGNOSIS
OF INJURIES TO THE RIB
CARCASS

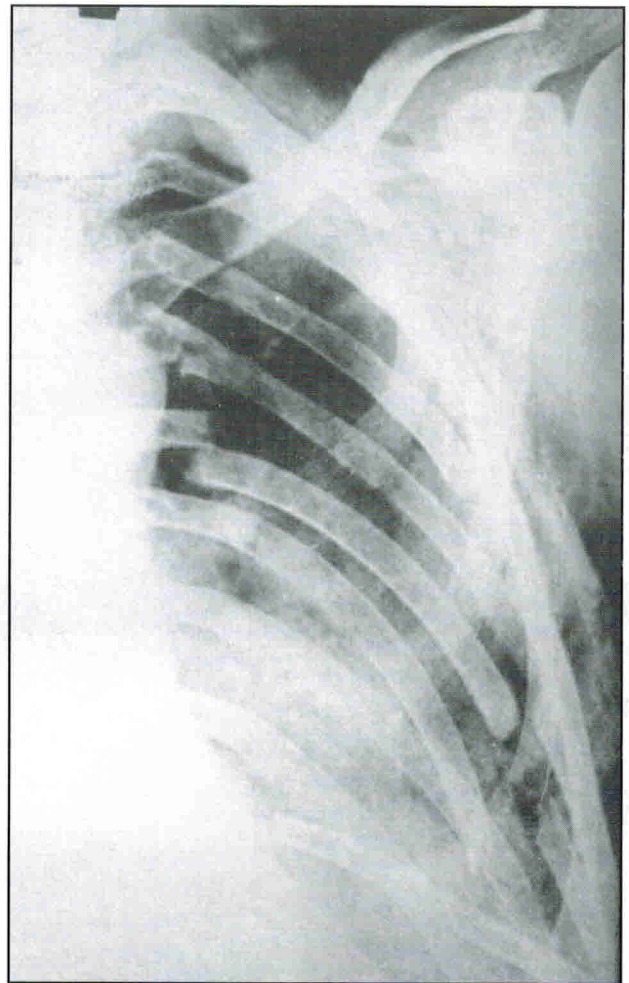
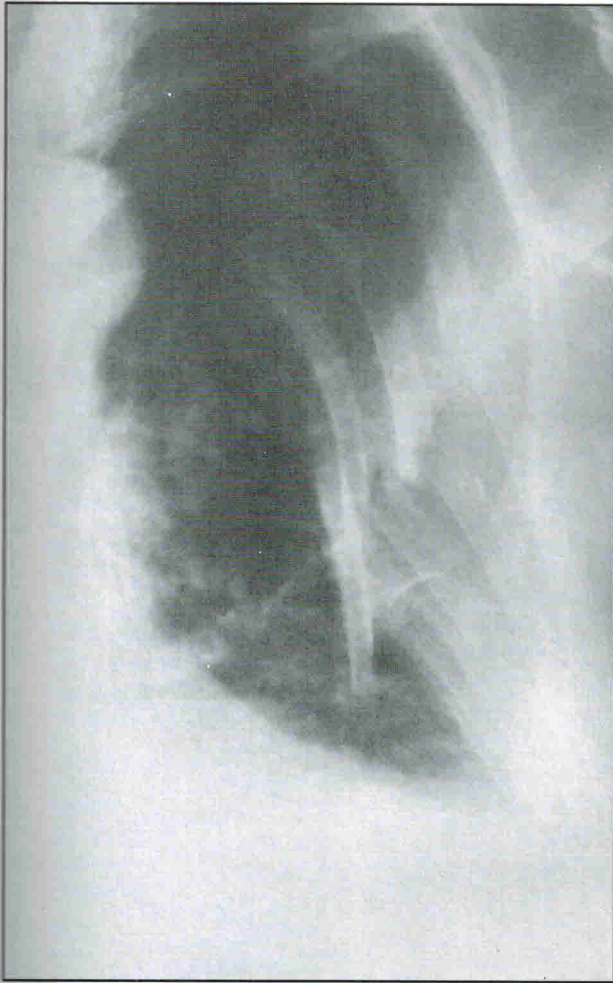


Рис. 1.
Варианты. Множественные переломы ребер слева, деформация реберного каркаса за счет смещения, захождения отломков вглубь грудной полости, левосторонний малый гидроторакс. Парастеральная гематома в стадии рассасывания

Fig. 1.
Variants. Multiple fractures of ribs on the left, deformation of rib carcass because of backward dislocation of fragments behind each other into the depth of the thoracic cavity, lateral minor hydrothorax. Parasternal hematoma at the stage of resolution

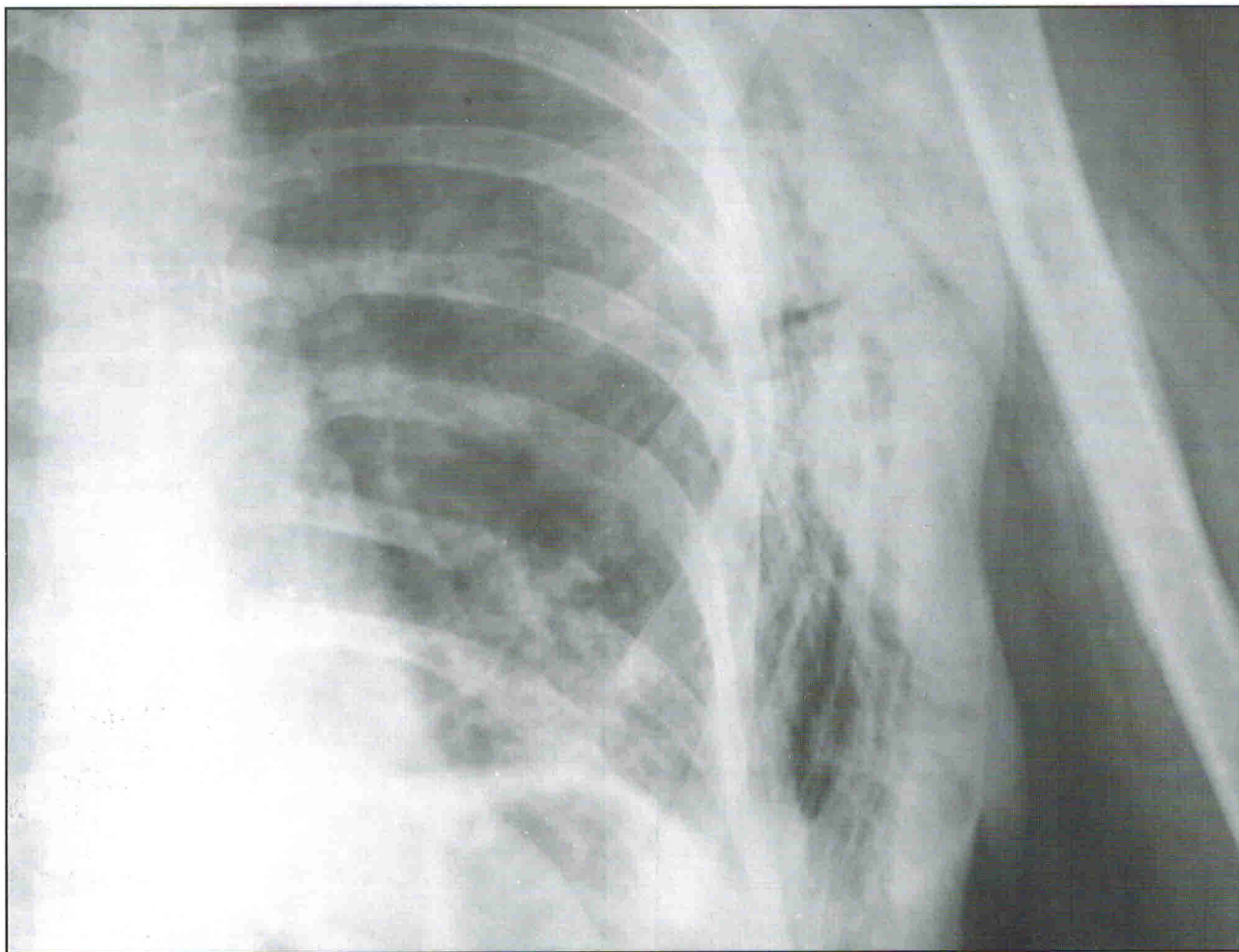


Рис. 2.
Перелом ребер слева, выраженная подкожная, межмышечная гематома слева и умеренная подкожная эмфизема

Fig. 2.
Rib fracture on the left, pronounced subcutaneous, intermuscular hematoma on the right, and moderate subcutaneous emphysema

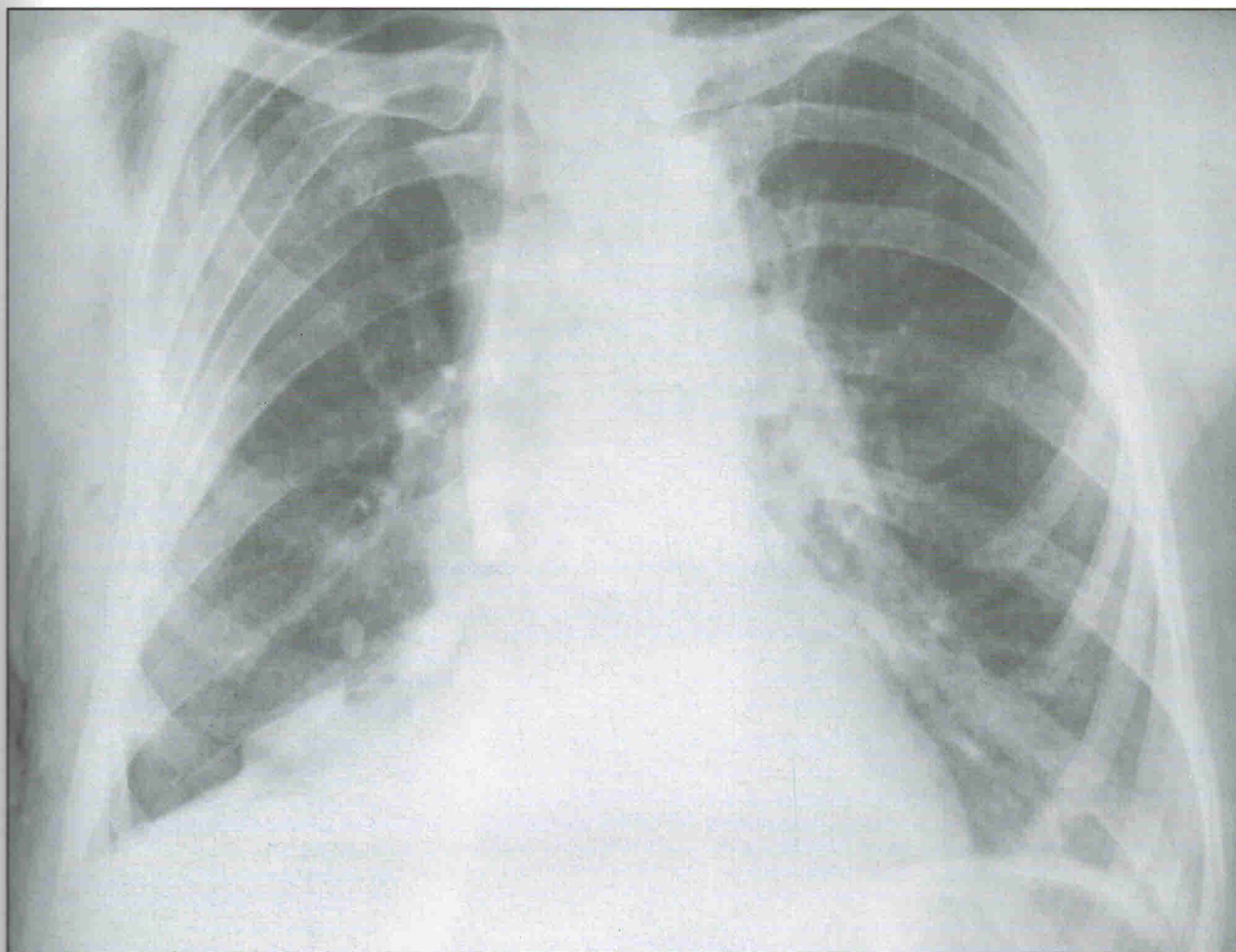


Рис. 3.
Множественные переломы задних отрезков верхней зоны реберного каркаса справа с захождением и смещением отломков, дренаж правой плевральной полости

Fig. 3.
Multiple fractures of posterior segments of upper zone of the rib carcass with backward dislocation of fragments behind each other, draining of the right pleural cavity